

· 实验室研究 ·

深圳地区2002—2008年副溶血弧菌分子特征研究

石晓路 王艺 龚庆华 李迎慧 林一曼 邱亚群 陈琼城 崔志刚

【摘要】目的 了解深圳地区副溶血弧菌主要血清型和分子分型以及毒力因子分布,分析新O3:K6型克隆群与国际流行株的进化关系。**方法** 对2002—2008年深圳地区1005株副溶血弧菌临床分离株进行血清型分型;采用荧光PCR方法对68种不同血清型的281株副溶血弧菌进行 tih 、 $toxR$ 、 tdh 和 trh 毒力基因检测;对281株菌株进行 $orf8$ 检测;采用脉冲场凝胶电泳(PFGE)对不同分离时间的5种主要血清型菌株进行分子分型,根据有代表性的分子分型图谱选取82株副溶血弧菌菌株进行GS-PCR检测,并选取60株副溶血弧菌菌株进行 $toxRS$ 基因测序;进而对41株O3:K6和O1:K25副溶血弧菌菌株进行多位点序列分型(MLST)分析,采用eBURST软件分析进化关系。**结果** 1005株菌共得到79种不同的血清型,主要血清型为O3:K6、O4:K8、O1:K25、O1:KUT、O4:K68、O1:K56和O9:K44,所占比例分别为57.9%、8.16%、5.27%、5.87%、1.39%、1.39%和0.99%。243株为 $tih+$ 、 $toxR+$ 、 $tdh+$ 、 $trh-$,37株为 $tih+$ 、 $toxR+$ 、 $tdh-$ 和 $trh-$,1株 $tih+$ 、 $toxR+$ 、 $tdh+$ 和 $trh+$ 。35株O3:K6型菌株的MLST序列类型为ST3,是同源复合体CC3,O4:K8型副溶血弧菌的序列类型为ST189,无同源复合体。**结论** 深圳地区主要流行的副溶血弧菌为 $tdh+$ 、 $trh-$ 的O3:K6、O4:K8和O1:K25菌株,2006年后出现O1:K56、O9:K44、O3:K29、O4:K9新的血清型;其中O3:K6血清型属于新的O3:K6克隆群,与其他国家流行的副溶血弧菌属于同一克隆群,同时也存在新、旧克隆群。血清的多样性和新旧克隆群的存在是造成深圳地区副溶血弧菌腹泻病高发态势的主要原因之一。

【关键词】 副溶血弧菌; 毒力特征; 脉冲场凝胶电泳; 新克隆群特异性PCR; 多位点序列分型

Molecular characterization of *Vibrio parahaemolyticus* collected from human infections in Shenzhen, between 2002 and 2008 SHI Xiao-lu¹, WANG Yi¹, HU Qing-hua¹, LI Ying-hui¹, LIN Yi-man¹, QIU Ya-qun¹, CHEN Qiong-cheng¹, CUI Zhi-gang². 1 Key Laboratory for Infectious Disease Prevention and Control, Shenzhen Center for Disease Control and Prevention, Shenzhen 518055, China; 2 National Institute for Communicable Disease Control and Prevention, Chinese Center for Disease Control and Prevention

Corresponding authors: CUI Zhi-gang, Email: cuizhigang@icdc.cn; HU Qing-hua, Email: huqinghua03@163.com

This work was supported by grants from the National Natural Science Foundation of China (No. 81071433) and the National Science and Technology Major Project (No. 2012ZX10004215).

[Abstract] **Objective** To determine the occurrence and distribution of specific clones of pathogenic *Vibrio parahaemolyticus* (VP) isolated in Shenzhen and to assess the relationship between serotype O3:K6 and the globally distributed pandemic clone. **Methods** A total of 1005 VPs isolated from diarrhea patients in 2002–2008 were sero-typed. Real-time PCR was used to detect the virulence genes tih , $toxR$, tdh , trh and $orf8$ in 281 isolates from 68 different serotypes. The main serotypes were typed by pulsed field gel electrophoresis (PFGE). Strains with dominant serotypes and PFGE patterns were assayed by GS-PCR and $toxRS$ sequencing for the identification of pandemic clone. Multilocus sequence typing (MLST) analysis was reserved for exemplary 41 O3:K6 and O1:K25 isolates. **Results** Seventy-nine serotypes were observed among the 1005 isolates, including O3:K6 (57.9%), O4:K8 (8.16%), O1:KUT (5.87%), O1:K25 (5.27%), O4:K68 (1.39%), O1:K56 (1.39%) and

DOI: 10.3760/cma.j.issn.0254-6450.2013.06.017

基金项目: 国家自然科学基金(81071433); 国家科技重大专项(2012ZX10004215)

作者单位: 518055 深圳市疾病预防控制中心 深圳市科创委重大传染病监控重点实验室(石晓路、王艺、龚庆华、李迎慧、林一曼、邱亚群、陈琼城); 中国疾病预防控制中心传染病预防控制所(崔志刚)

通信作者: 崔志刚, Email: cuizhigang@icdc.cn; 龚庆华, Email: huqinghua03@163.com

O9 : K44(0.99%)。Most of the strains (99.36%) showed PCR positive to *tih*, *toxR*, and *tdh* but eleven strains were *tdh* negative. MLST showed that all the 36 O3 : K6 isolates belonged to ST3 and all the 5 O4 : K8 strains were ST189. These results matched the description of the pandemic VP clone. **Conclusion** A recognizable burden of diarrheal illness caused by VP had been seen in Shenzhen. Results from serotyping indicated that although there exists a large variety of diversities, the dominant serotype appeared to be O3 : K6. VP isolates identified in Shenzhen mainly showed as *tdh* positive but *trh* negative, in consistent with the current pandemic O3 : K6 clone. The pandemic O3 : K6 clone did appear to co-exist with other clones of O3 : K6, as well as O4 : K8, O1 : K25. Potential outbreak of VP could be monitored through the laboratory-based surveillance programs, suggesting that the strategies related to prevention and control of VP should be prioritized in Shenzhen.

[Key words] *Vibrio parahaemolyticus*; Virulence gene; Pulsed-field gel electrophoresis; GS-PCR; Multilocus sequence typing

副溶血弧菌广泛分布于世界沿海地区,是引起食源性疾病的重要病原菌之一^[1]。1996年自印度加尔各答分离出一种 *tdh*+、*trh*-新的O3 : K6型克隆群后此菌引起的疾病发生率急剧增加^[2]。目前该克隆群已引起全球许多国家副溶血弧菌疾病大流行^[3,4]。同样在我国特别是沿海地区,副溶血弧菌引起的食物中毒已高居微生物性食物中毒首位^[5,6]。深圳地区是我国副溶血弧菌食物中毒和感染性腹泻的高发区域,副溶血弧菌占腹泻病病原的首位。但目前对深圳地区副溶血弧菌腹泻病的流行规律、菌株血清型分布和毒力因子分布了解甚少,为此对2002—2008年该地区副溶血弧菌分离菌株的分子特征进行研究,了解主要流行血清型和分子分型以及毒力因子分布,分析O3 : K6血清型是否属于新的O3 : K6型克隆群及本地优势克隆群与国际流行株的进化关系等,为该病的防控提供技术支撑。

材料与方法

1. 实验用菌株:2002—2008年深圳地区1005株副溶血弧菌临床分离株。其中食物中毒来源菌株354株,感染性腹泻监测来源菌株558株,外环境分离菌株93株。副溶血弧菌参照菌株vp08399(GS-PCR+、*orf8*+、*trh*-)和vp08400(GS-PCR-、*orf8*-、*trh*-)由浙江大学方维焕教授馈赠,vp08414(*tdh*-,*trh*+)和vp08415(*tdh*+,*trh*+)由中国疾病预防控制中心传染病预防控制所阚巍研究员提供。

2. 血清型分型:参照GB/T 4789.7-2003对1005株菌株进行复核鉴定和血清分型。诊断血清为日本生研公司产品。

3. 毒力因子检:选取68种不同血清型的281株副溶血弧菌进行*tih*、*toxR*、*tdh*、*trh*荧光PCR检测,其中237株为临床分离株,44株为外环境分离株。自行设计荧光探针及引物,反应条件和引物探针序列见文献[7]。在ABI7500荧光定量PCR仪或Stratagene荧光PCR仪完成毒力因子检测。

4. 分子分型:

(1)脉冲场凝胶电泳(PFGE)分型:按时间、地点差异,选取代表性的190株(O3 : K6型142株、O4 : K8型18株、O1 : KUT型11株、O4 : K68型9株、O1 : K25型10株)进行PFGE^[8,9],并用Bionumerics软件进行图谱分析。

(2)新流行菌株标志物检测:根据PFGE图谱选取具有代表性的281株进行*orf8*检测,其中82株进行GS-PCR检测,并选取60株(O3 : K6型31株、O4 : K8型7株、O1 : K25型8株、O4 : K68型4株、O1 : KUT型10株)的*toxRS*基因测序以验证GS-PCR结果。应用PCR直接测序法对其*toxRS*基因进行扩增测序^[10](由上海生工生物工程有限公司完成)。利用Primer Premier 5.0设计两对引物,序列见表1。

(3)MLST分型:根据PFGE分型结果选取41株副溶血弧菌(36株O3 : K6和5株O4 : K8型)进行MLST分型。参照MLST数据库(<http://pubmlst.org>)公布的6对引物分别对*dnaE*、*gyrB*、*dtdS*、*pntA*、*pyrC*和*tnaA*基因进行扩增测序(本研究根据*recA*基因重新设计了引物,即F:GCT TTC TCT TGA TAT CGC TTT GGG; R:GCT TTT TCT ACT AGC TTG TGC TT,优化PCR扩增条件)。引物由TaKaRa公司合成。对7个位点的目的片段测序结果进行核酸序列信息进行整合,把每个等位基因的DNA片段与MLST数据库的相应基因进行比较,从而得到等位基因图谱。并采用eBURST软件分析进化关系。

结 果

1. 血清型分布:1005株副溶血菌株共鉴定出79种不同的血清型,其中菌株数≥5的血清型有21种。较为常见的血清型有O3 : K6、O4 : K8、O1 : K25、O1 : KUT、O4 : K68、O1 : K56和O9 : K44,其中O3 : K6型的比例为57.9%,其他常见血清型分别为8.16%、5.27%、5.87%、1.39%、1.39%和0.99%。而2006年以后出现新的血清型有O1 : K56、O9 : K4、

表1 PCR反应的探针和引物及反应条件

基因	引物	探针	反应条件
<i>tdh</i>	<i>tdh</i> -F:AAACATTGCTTTGAGCTTCCA <i>tdh</i> -R:CTCGAACACAAACATATCTCATCAG	FAM-CCG GGG TGT CCC TTT TCC TGC CCC CGG-DAB CYL	95 °C/3 min, 40个循环(95 °C/15 s, 55 °C/60 s)
<i>toxR</i>	<i>toxR</i> -F:GAAGTTGTACGATTAGGAAGC <i>toxR</i> -R:TGCTCACGCCAAACAAAC	FAM-CCG CCC GTA TAC TCC TGA TGT TGG CGG-DAB CYL	95 °C/3 min, 40个循环(95 °C/15 s, 55 °C/60 s)
<i>tlh</i>	<i>tlh</i> -F:AAAGCGGATTATGCAGAAGCACTG <i>tlh</i> -R:GCTACTTTCTAGCATTTCCTCTGC	FAM-AAG AAC TTC ATG TTG ATG ACA CT-BHQ1	95 °C/2 min, 40个循环(95 °C/30 s, 56 °C/30 s, 72 °C/40 s)
<i>trh</i>	<i>trh</i> -F:GCCAAGTGTAAACGTATTGGATGA <i>trh</i> -R:TGCCCATTCCGCTCTCA	FAM-ACG CCA GAA TAT TTC GTC AAT GTC GAA GC-BHQ1	95 °C/3 min, 40个循环(95 °C/20 s, 60 °C/60 s)
<i>orf8</i>	Orf8-F:AGGACCCAGTTACGCTTGATG Orf8-R:CTAACGCCATTGTCCTTTGTAG	FAM-AAG CCA TTA ACA GTT GAA GGC GTT GAC T-DAB CYL	95 °C/2 min, 40个循环(95 °C/30 s, 56 °C/30 s, 72 °C/40 s)
<i>toxRS1</i>	<i>toxRS1</i> -F:ATCGTAGAGCCGCTTTAGC <i>toxRS1</i> -R:ACCGTAGAACCGTGATTTAG	-	94 °C/5 min, 40个循环(94 °C/60 s, 54 °C/60 s, 72 °C/60 s), 72 °C/10 min
<i>toxRS2</i>	<i>toxRS2</i> -F:ACAATGACGCCCTGCTAAT <i>toxRS2</i> -R:CTCACTTCCCAGCGACCTTT	-	94 °C/5 min, 40个循环(94 °C/60 s, 52 °C/60 s, 72 °C/60 s), 72 °C/10 min
GS-VP	GS-VP.1-F:TAATGAGGTAGAAACA GS-VP.2-R:ACGTAACGGGCCTACA	-	94 °C/5 min, 30个循环(94 °C/60 s, 494 °C/60 s, 72 °C/60 s), 72 °C/10 min

O3 : K29 和 O4 : K9。外环境分离株血清型较分散, 93 株中 O1 : KUT 型 11 株, O3 : K6 型 4 株, O1 : K25 型 2 株, O4 : K8 型和 O4 : K68 型各 1 株。

2. 毒力因子分布: 281 株中有 232 株(6 株为外环境分离株)为 *tlh*+, *toxR*+, *tdh*+, *trh*-, 37 株(外环境分离株)为 *tlh*+, *toxR*+, *tdh*-, *trh*-, 11 株(腹泻病例分离株)为 *tlh*+, *toxR*+, *tdh*-, *trh*-, 1 株(食品分离株)为 *tlh*+, *toxR*+, *tdh*+, *trh*+。

3. 分子分型:

(1) PFGE 分型: 通过 PFGE 分析, 190 株菌得到 74 种图谱, 其中 142 株 O3 : K6 型菌有 45 种、18 株 O4 : K6 型菌有 8 种、11 株 O1 : KUT 型菌有 10 种、9 株 O4 : K68 型菌有 5 种、10 株 O1 : K25 型菌有 6 种 PFGE 图谱。提示深圳地区存在多起副溶血弧菌引起的腹泻病或食物中毒暴发。

(2) 新流行菌株标志物检测: ORF8-PCR 检测 68 种不同血清型的 281 株副溶血弧菌, 在 18 种不同血清型的 150 株菌中检测到 *orf8* 基因。O3 : K6、O1 : K25 等常见血清型均存在 *orf8* 基因, 其中 O4 : K8、O1 : K56 和 O9 : K44 血清型未检出 *orf8* 基因(表 2)。

对 82 株副溶血弧菌进行 GS-PCR 检测, 并选取 60 株进行 *toxRS* 测序, 以了解菌株在 *toxRS* 基因不同位点上的突变情况(表 3)。O4 : K8 型菌的 GS-PCR 和 *orf8* PCR 检测结果均为阴性, 测序结果也显示所有 O4 : K8 型菌株都不属于新流行菌株, 而与典型的旧克隆群相比这些菌株在 1002 bp 处也存在突变。GS-PCR 检测与测序结果一致(表 4), 1 类型菌株其 GS-PCR 均为阳性, 其他类型菌株 GS-PCR 结果均为阴性。GS-PCR 检测结果显示大部分 O3 : K6 型菌为新克隆群, O4 : K68 型菌存在新旧克隆群, O4 : K8

表2 150株不同血清型副溶血弧菌的 *orf8* 基因分布

血清型	<i>orf8</i> 基因		阳性率 (%)
	阳性株数	阴性株数	
O3 : K6	64	7	90.14
O1 : K25	6	9	40.00
O1 : KUT	2	20	9.10
O4 : K68	9	2	81.81
O1 : K36	6	0	100.00
O1 : K32	1	2	33.33
O3 : KI	2	0	100.00
O3 : KIV	1	0	100.00
O3 : K54	1	0	100.00
O4 : K55	2	1	66.67
O4 : K42	1	0	100.00
O4 : K36	1	0	100.00
O4 : K11	2	1	66.67
O4 : K63	1	1	50.00
O5 : K68	1	0	100.00
O11 : K19	1	0	100.00
O11 : K36	1	0	100.00
OUT : KUT	2	3	40.00

型菌为旧克隆群。

(3) MLST 分型: 35 株 O3 : K6 型菌具有相同的 MLST 序列类型, 7 个位点 *dnaE*、*gyrB*、*recA*、*dtdS*、*pntA*、*pyrC* 和 *tnaA* 的等位基因图谱按顺序是 3、4、19、4、29、4 和 22, 序列类型为 ST3。6 株 O4 : K8 型菌具有相同的 MLST 序列类型, 7 个位点 *dnaE*、*gyrB*、*recA*、*dtdS*、*pntA*、*pyrC* 和 *ttaA* 的等位基因图谱按顺序是 11、48、3、48、26、48 和 26, 序列类型为 ST189。

采用 eBURST v3 软件分析 41 株副溶血弧菌, 并与数据库公布的菌株进行比对(图 1)。35 株 ST3 与 ST2、ST51、ST42 等 8 种序列类型的菌株构成同源复合体(clonal complex)CC3。CC3 对应的是流行菌

表3 toxRS基因部分片段的序列分析

血清型	576 nt	900 nt	1002 nt
新O3 : K6	GGTAGAAACATCGTAGAG.....GGAAGTATTGCCA.....GGTCAAAATGATCCAACAGA...		
旧 O3 : K6	GGTAGAAACGATCGTAGAG.....GGAAGTGATTGCCA.....GGTCAAAACGATCCAACAGA...		
1	GGTAGAAACATCGTAGAG.....GGAAGTATTGCCA.....GGTCAAAATGATCCAACAGA...		
2	GGTAGAAACGATCGTAGAG.....GGAAGTGATTGCCA.....GGTCAAAACGATCCAACAGA...		
3	GGTAGAAACGATCGTAGAG.....GGAAGTGATTGCCA.....GGTCAAAATGATCCAACAGA...		
4	GGTAGAAACGATCGTAGAG.....GGAAGTATTGCCA.....GGTCAAAACGATCCAACAGA...		
5	GGTAGAAACGATCGTAGAG.....GGAAGTATTGCCA.....GGTCAAAATGATCCAACAGA...		
6	GGTAGAAACGATCGTAGAG.....GGAAGTGATTGCCA.....GGTCAAAATGATCCAACAGA...		
血清型	1196 nt	1214 nt	1244 nt
新O3 : K6	AGACGATACTGTAGGCC.....GTTACGTCGIGT.....TACCTACCGAAT.....ATGCTGAACAA		
旧 O3 : K6	AGACGATACCGTAGGCC.....GTTACGTCGAGT.....TACCTGCCGAAT.....ATGCAGAACAA		
1	AGACGATACTGTAGGCC.....GTTACGTCGIGT.....TACCTACCGAAT.....ATGCTGAACAA		
2	AGACGATACCGTAGGCC.....GTTACGTCGAGT.....TACCTGCCGAAT.....ATGCAGAACAA		
3	AGACGATACTGTAGGCC.....GTTACGTCGAGT.....TACCTGCCGAAT.....ATGCAGAACAA		
4	AGACGATACCGTAGGCC.....GTTACGTCGAGT.....TACCTGCCGAAT.....ATGCAGAACAA		
5	AGACGATACCGTAGGCC.....GTTACGTCGAGT.....TACCTGCCGAAT.....ATGCAGAACAA		
6	AGACGATACTGTAGGCC.....GTTACGTCGIGT.....TACCTGCCGAAT.....ATGCAGAACAA		

表4 toxRS 7个位点的碱基突变

碱基突变类型	菌株在toxRS 7个位点的碱基突变	血清型	菌株数
1	---A---A---T---T---T---A---T---	O3 : K6	26
		O1 : K25	4
		O4 : K68	2
		O1 : KUT	2
2	---G---G---C---C---A---G---A---	O3 : K6	1
		O1 : K25	2
		O1 : KUT	8
3	---G---G---T---C---A---G---A--	O3 : K6	1
		O4 : K8	7
		O1 : K25	1
		O4 : K68	2
4	---G---A---C---C---A---G---A---	O3 : K6	1
		O1 : KUT	1
5	---G---A---T---C---A---G---A---	O1 : KUT	1
6	---G---G---T---T---T---G---A---	O1 : KUT	1

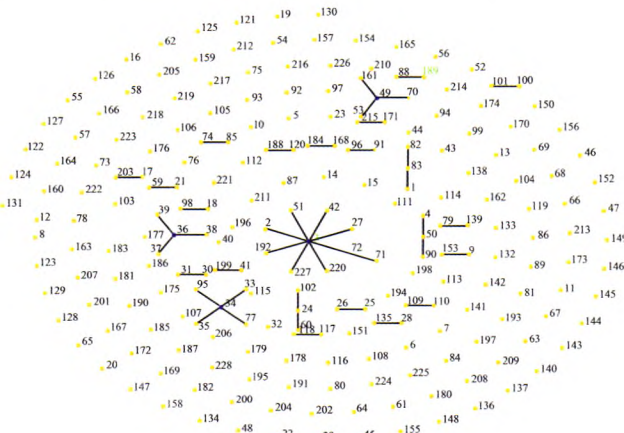


图1 41株副溶血弧菌进化关系(采用eBURST软件分析)

株,而ST3型菌株是在此同源复合体中是最原始的菌株,曾在日本、泰国、美国、西班牙、秘鲁等多个国家分离到。ST189型菌株无同源复合体。ST189与ST88型菌株属于单位点变异体(single-locus variant, SLV),只在recA基因序列上不同。1995年和1996年曾在秘鲁分离到ST88型O4 : K8型菌株;在我国其他地区也存在ST189型菌株,但与深圳地区的菌株血清型不同。

讨 论

自1953年在日本首次发现副溶血弧菌,至今已有13种O血清型和71种K血清型。1996年以前,副溶血弧菌的血清型主要以O4 : K8为主,1996年后,新的O3 : K6型克隆群占主要优势,并引起副溶血弧菌腹泻发病率增高^[11-13]。本研究显示,深圳地区副溶血弧菌血清型有75种,其中以O3 : K6、O4 : K8、O4 : K68、O1 : K25和O1 : KUT型为主,同时还出现O1 : K56、O9 : K44、O3 : K29和O4 : K9新血清型。主要流行血清型与世界许多国家目前流行的优势菌株的血清型一致,同时又存在多种新的血清型。血清型的多样性是深圳地区副溶血弧菌腹泻病呈高发态势的原因之一。

一般认为,副溶血弧菌的致病作用主要与其溶血素密切相关^[14]。目前研究最多的是耐热直接溶血素(TDH)和耐热溶血素相关溶血素(TRH),分别由tdh和trh基因编码。本研究显示实验菌株100%携带toxR和tlh,因此toxR和tlh可作为副溶血弧菌检测的标志物,进行早期快速诊断。临床分离株基本都

含 *tdh* 基因, 食品样本分离株仅 6% 含 *tdh*, 同时分离出 1 株 O3 : K6 型菌; 同时从腹泻病例标本分离的 11 株菌缺失 *tdh* 和 *trh* 基因, 其原因还有待进一步研究。

由于 1996 年后全球流行的副溶血弧菌为 O3 : K6 新克隆群, 为了解深圳地区主要血清型是否为新的克隆群, 以及流行血清型与国际流行株型的亲缘关系, 本研究采用分子分型手段(ORF8-PCR 和 GS-PCR)进行分析。Matsumoto 等^[10]证实新 O3 : K6 型流行株在 *toxRS* 操纵子上存在特别序列, 与旧 O3 : K6 型菌株相比, 在 576、900、1002、1196、1214、1244 和 1463 bp 位点上存在突变。GS-PCR 是根据 *toxRS* 上 1364 bp 区域 7 个碱基突变来区分流行和非流行克隆群菌株。ORF8 来自于丝状噬菌体, 是一个开放阅读框, 也是副溶血弧菌的另一种黏附因子, 其编码的黏附蛋白可增强副溶血弧菌对宿主细胞的黏附能力。本研究食物中毒和腹泻病患者分离株近 50% 含 ORF8, 但外环境菌株中含 ORF8 的菌株则少, 因此外环境中是否存在流行菌株还有待进一步研究。在 GS-PCR 的基础上, 对 60 株副溶血弧菌 *toxRS* 的部分序列进行测序, 结果显示 O3 : K6 型菌株除 1 株外均为新的流行菌株, 在 O4 : K68、O1 : 25 和 O1 : KUT 型菌株中既存在新流行菌株也有旧克隆群。结合 PFGE 结果, O4 : K68 和 O1 : K25 型新流行菌株常引起副溶血弧菌腹泻病暴发。值得注意的是, O4 : K8 型菌不是新流行菌株, 与旧克隆群相比这些菌株在 1002 bp 处存在突变。但是结合 PFGE 结果, O4 : K8 型菌在深圳地区仍可引起暴发。此外, 本研究中 3 株菌的 ORF8-PCR 和 GS-PCR 结果不一致(2 株 ORF8-PCR-、GS-PCR+, 1 株 ORF8-PCR+、GS-PCR-)。提示仅采用 ORF8-PCR 和 GS-PCR 标志物不能完全确认新旧克隆群, 需结合多个指标分析。

2002—2008 年分离的 35 株具有代表性的 O3 : K6 型副溶血弧菌具有相同的 MLST 序列, 均属于 ST3, 是最普遍的流行克隆群类型图谱, 表明近些年深圳地区流行的 O3 : K6 型菌均属于新的 O3 : K6 型克隆群, 与国际流行株的进化关系一致。6 株 O4 : K8 型菌的序列类型为 ST189, 目前在 MLST 数据库(<http://pubmlst.org>)中尚未找到与其序列类型相同的血清型菌株。

综上所述, 深圳地区副溶血弧菌主要是 *tdh*+、*trh*-、GS-PCR+ 新流行菌株, 这是引起疾病暴发或散发的主要流行株型, 同时出现引起爆发性疫情的新血清型, 还存在一些与新流行菌株分子特征不同的菌株, 如 O4 : K8 型菌的 *toxRS* 基因存在点突变, 而

副溶血弧菌多种血清型, 使腹泻病呈现复杂和多样性, 且外环境分离株的血清型与临床分离株主要血清型不一致, 也可能是导致该地区副溶血弧菌腹泻疾病负担重, 难以得到有效预防和控制的原因之一。

参 考 文 献

- [1] WHO. Food safety, a worldwide challenge. Food Chain, 2001.
- [2] Okuda J, Ishibashi M, Hayakawa E, et al. Emergence of a unique O3 : K6 clone of *Vibrio parahaemolyticus* in Calcutta, India, and isolation of strains from the same clonal group from Southeast Asian travelers arriving in Japan. *J Clin Microbiol*, 1997, 35(12): 3150–3155.
- [3] Martinez UJ, Simental L, Velasco D, et al. Pandemic *Vibrio parahaemolyticus* O3 : K6, Europe. *Emerg Infect Dis*, 2005, 11(8): 1319–1320.
- [4] Nair GB, Ramamurthy T, Bhattacharya SK, et al. Global dissemination of *Vibrio parahaemolyticus* serotype O3 : K6 and its serovariants. *Clin Microbiol Rev*, 2007, 20(1): 39–48.
- [5] Lan QX, Lin YM, Shi XL, et al. Laboratory analysis of *Vibrio parahaemolyticus* from food poisoning in Shenzhen in 2007. *Chin J Health Lab Technol*, 2009, 19(11): 2570–2571. (in Chinese)
兰全学, 林一曼, 石晓路, 等. 深圳市 2007 年食物中毒分离副溶血弧菌的实验室分析. 中国卫生检验杂志, 2009, 19(11): 2570–2571.
- [6] Shen ZY, Gao WJ, Wang HH, et al. Analysis of the detection result of pathogen in bacterial food poisoning from 2001 to 2009. *Mod Prev Med*, 2011, 38(1): 30–33. (in Chinese)
沈志英, 高文洁, 王恒辉, 等. 2001—2009 年细菌性食物中毒病原菌检测结果分析. 现代预防医学, 2011, 38(1): 30–33.
- [7] Wang Y, Hu QH, Mou J, et al. Etiologic and molecular characteristics of *Vibrio parahaemolyticus* strains isolated from diarrheal patients in Shenzhen, in 2007–2008. *Chin J Epidemiol*, 2010, 31(1): 51–55. (in Chinese)
王艺, 霍庆华, 牟瑾, 等. 深圳市 2007—2008 年腹泻病副溶血弧菌监测及分子特性分析. 中华流行病学杂志, 2010, 31(1): 51–55.
- [8] Parsons MB, Cooper KL, Kubota KA, et al. PulseNet USA standardized pulsed-field gel electrophoresis protocol for subtyping of *Vibrio parahaemolyticus*. *Foodborne Pathog Dis*, 2007, 4(3): 285–292.
- [9] Tenover FC, Arbeit RD, Goering RV, et al. Interpreting chromosomal DNA restriction patterns produced by pulsed-field gel electrophoresis: criteria for bacterial strain typing. *J Clin Microbiol*, 1995, 33(9): 2233–2239.
- [10] Matsumoto C, Okuda J, Ishibashi M, et al. Pandemic spread of an O3 : K6 clone of *Vibrio parahaemolyticus* and emergence of related strains evidenced by arbitrarily primed PCR and *toxRS* sequence analyses. *J Clin Microbiol*, 2000, 38(2): 578–585.
- [11] Vuddhakul V, Chowdhury A, Laohaprerthisan V, et al. Isolation of a pandemic O3 : K6 clone of a *Vibrio parahaemolyticus* strain from environmental and clinical sources in Thailand. *Appl Environ Microbiol*, 2000, 66(6): 2685–2689.
- [12] Osawa R, Iguchi A, Arakawa E, et al. Genotyping of pandemic *Vibrio parahaemolyticus* O3 : K6 still open to question. *J Clin Microbiol*, 2002, 40(7): 2708–2709.
- [13] Wong HC, Liu SH, Wang TK, et al. Characterization of *Vibrio parahaemolyticus* O3 : K6 from Asia. *Appl Environ Microbiol*, 2000, 66(9): 3981–3986.
- [14] Davis CR, Heller LC, Peak KK, et al. Real-time PCR detection of the thermostable direct hemolysin and thermolabile hemolysin genes in a *Vibrio parahaemolyticus* cultured from mussels and mussel homogenate associated with a foodborne outbreak. *J Food Prot*, 2004, 67(5): 1005–1008.

(收稿日期: 2013-01-22)

(本文编辑: 张林东)